

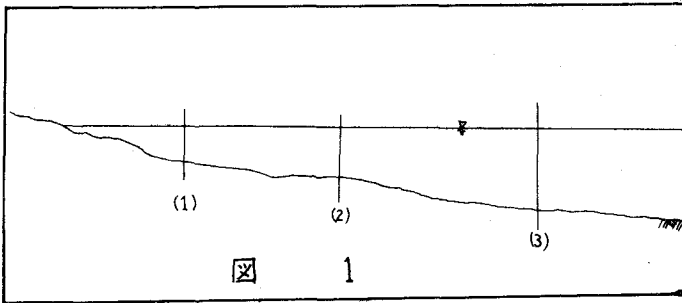
熊本大学工学部 正会員 田代 幹修
 熊本大学工学部 正会員 滝川 清
 熊本大学工学部 学生員 増田 厚

1. はじめに

波が浅海域に浸入すると shoaling 効果, 屈折, 海底摩擦, 砕波, サーフビートなどいろいろの現象によって波が変形する。それによって浅海域の波浪は非常に複雑となり, その波浪特性は一言では表わせない。

筆者らは, 一昨年より, 浅海域の波浪特性を調べるために, 簡単な観測装置を使用して観測を行っており, 前会, その一部の資料により, 「うねり」と「風波」を対比し, それらの特長を主にスペクトルにより示した。

本報告は, その後の資料を含め, 特長ある資料について, 波高, 周期の頻度分布, 圧力波の無次元スペクトルなどを用いて報告する。



2. 観測方法

観測の対象とした高浜海岸, 太田尻海岸は, 図-2に示した位置にある。また, 波高計は図-1のように, 鉄柱を海底に固定し, これに圧力式波高計を取り付けた。波高計で測定される波浪記録は, データレコーダに収録する。収録された記録は, 高速データ処理装置により, サンプル間隔 Δt で N 個読みとる。

3. 波浪記録の解析

表-1に本報告に用いた波の諸特性を示す。なお, 各記録におけるサンプリング間隔, データ数は, 次のとおりである。T₁-(1)は, $\Delta t = 1 \text{ sec}$, $N = 1060$, T₂, T₃, T₄は, $\Delta t = 0.2 \text{ sec}$, $N = 2000$ であり, O-(1)は, $\Delta t = 0.2 \text{ sec}$, $N = 2048$ である。また, 各記録の波は, T₁-(1)が「うねり」, その他は「風波」であり, T₁-(1)は, 砕波帯内の記録, T₃-(2)は同時刻における砕波帯外の記録である。

表 1. 波浪資料の諸特性

資料番号	観測日時	H _{1/2} (cm)	T _{1/2} (sec)	H _{mean} (cm)	T _{mean} (sec)	標準偏差 (cm)	skewness	kurtosis
T ₁ -(1)	1975年 9月20日 17時	41.5	8.89	24.1	7.18	10.39	0.686	4.28
T ₂ -(1)	1977年 12月24日 9時	22.2	4.97	15.1	4.34	6.19	0.107	2.65
T ₂ -(2)	同上	19.2	4.89	12.8	4.25	5.37	-0.068	2.86
T ₃ -(1)	12月 24日 16時	18.7	5.38	12.8	4.26	5.15	0.544	2.81
T ₃ -(2)	同上	18.7	5.03	13.3	4.91	5.27	0.026	2.72
T ₄ -(1)	12月 24日 21時	21.2	5.53	13.8	4.88	5.58	0.181	2.96
T ₄ -(2)	同上	18.2	5.42	11.8	4.82	4.89	-0.088	2.86
O-(1)	1976年 1月17日 21時	34.1	3.40	21.4	3.19	8.69	-0.306	3.19

図-3, 4は、解析して得た波高、周期の頻度分布を示したものである。図-3において、 $T_0(1)$ がRayleigh分布からのはずれ方が強く、これは、砕波により波形が複雑になることを示している。また、図-4においても、他の記録が、Rayleigh分布とよく一致しているのに対し、 $T_0(1)$ は、はずれ方が強い。同時観測の記録である $T_0(2)$ と比較した場合にも、砕波の特長である周期の分散している様子がよくわかる。次に、圧力波のワースペクトルを図-5、図-6を示した。図-5は、砕波がおこるとききのワースペクトルの変化を砕波がおきないときのワースペクトル変化と比較した図である。また、図-6は、全エネルギーにより無次元化したワースペクトルを示したものであり、縦軸に $S(f)/S_0$ 、横軸にピーク周波数 f_p により無次元化した周波数 f/f_p を用いて表わした。なお、図-5は、 $N=2000$, $\text{lag } 120$ 、図-6は、 $N=1024$, $\text{lag } 80$ により、Blackman-Tukeyの方法により行なった。

図-5より、 $T_2(1), (2)$, $T_0(1), (2)$ の同時観測記録においては、そのワースペクトル形が非常に類似しており、水深が浅くなるにつれて、エネルギーが集中している様子がわかる。また、 $T_0(1), (2)$ においては、 $T_0(2)$ におけるワースペクトル形が、水深が浅くなり砕波することにより、エネルギーが分散し、 $T_0(1)$ において見られるように、卓越したピークがなくなり、 $T_0(2)$ のピーク周波数の両側にエネルギーが移っている。図-6は、「うわり」、「風波」、「砕波」のワースペクトルを比較したものである。風波($T_0(2)$, $O(1)$)においては卓越したピークが一つであるが、うわり($T_0(1)$)においては第1ピーク周波数の2倍、3倍付近に次のピークがあらわれている。また、砕波($T_0(1)$)においては、卓越したピークがなく全体にそのワースペクトル形は平坦である。

4. あとがき

波浪観測による記録を解析している過程で、今までに気付いた点を一部紹介してみた。紙面の都合で載せなかつたワースペクトル、クロスワースペクトルについては、講演時紹介する。

